

## 4.3 Exakter Renormierungsfluß und Flußgleichung

Idee:

- Integration über Quantenfluktuationen sukzessive durchführen,
- Impulsschalen "ausschmieren"  $\mathbb{L} \rightarrow \mathcal{L}$  (vermeidet künstliche nicht-analytizitäten)

$\Rightarrow$  interpolierende Wirkung  $\Gamma_k$  (effective average action)  
mit  $\Gamma_{k \rightarrow \Lambda} \approx S_{\text{bare}}$ ,  $\Gamma_{k \rightarrow 0} = \Gamma_{\text{PI}}$

Annahme: QFT ist wohldefiniert durch UV regularisiertes Schwinger-Funktional:

$$Z[J] = \int \mathcal{D}x e^{-S[x] + \int Jx} \equiv e^{W[J]} \quad (4.24)$$

Def: IR regularisiertes Schwinger-Funktional:

$$Z_k[J] := e^{-\Delta S_k[\frac{\delta}{\delta J}]} \quad Z[J] = \int \mathcal{D}x e^{-(S[x] + \Delta S_k[x]) + \int Jx} \equiv e^{W_k[J]} \quad (4.25)$$

$$\text{mit } \Delta S_k[x] = \frac{1}{2} \int \frac{d^4 q}{(2\pi)^4} x(-q) R_k(q) x(q) \quad (4.26)$$

$R_k$ : Regulator Funktion mit

$$(1) \lim_{q^2/k^2 \rightarrow 0} R_k(q) > 0, \text{ z.B. } \sim k^2 \quad (4.27a)$$

(IR Regularisierung, z.B. massentypig  $m^2 \sim k^2$ )

$$(2) \lim_{k^2/q^2 \rightarrow 0} R_k(q) = 0 \quad (4.27b)$$

$\Rightarrow$  Regulator verschwindet für  $k \rightarrow 0$

$$\Rightarrow Z_{k \rightarrow 0}[J] = Z[J] \rightsquigarrow \Gamma_{k \rightarrow 0} = \Gamma_{\text{PI}} \left( \text{volle QFT f\"ur } k \rightarrow 0 \right)$$

$$(3) \lim_{k \rightarrow \infty} R_k(q) \rightarrow \infty \quad (4.27c)$$

$$\Rightarrow Z_{k \rightarrow \infty} = \int_{\Lambda} dX e^{-S[X] - \Delta S_{k \rightarrow \infty}[X] + \int S X}$$

$$\sim e^{-S[\phi_0]} + \int S \phi_0 \quad (\text{Sattelpunktsapprox})$$

(Funktional-Integral ist dominiert durch Lösungen  $\phi_0$  der klassischen Theorie, die  $S$  minimieren)

$$\Rightarrow e^{-\Delta S_{k \rightarrow \infty}[X]} \sim S[X - \phi_0]$$

$$\Rightarrow \Gamma_{k \rightarrow \infty} \simeq S$$

Beispiele: allgen:  $R_k(q) = Z_k q^2 \gamma(q^2/\mu^2)$  (4.28)

$\uparrow$   $\uparrow$   
 Wellenfkt. renormierung regulator shape  
 $(Z_k = Z_\phi : \text{RG Skalings-} \uparrow \text{invariant})$  function

- Exponentielles Regulator:

$$\gamma(q^2/\mu^2) \sim \frac{1}{e^{q^2/\mu^2} - 1}$$



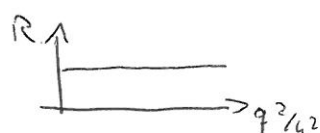
- linearer Regulator (Litim)

$$\gamma(q^2/\mu^2) \sim \left(\frac{\mu^2}{q^2} - 1\right) \Theta(\mu^2 - q^2)$$



- Massenregulator

$$\gamma(q^2/\mu^2) \sim \frac{\mu^2}{q^2} \Rightarrow R_k(q) \sim \mu^2$$



$\Rightarrow$  Callan-Symanzik-Fluß (führt in d=4 zu UV-Problemen)

Konstruktion von  $\Gamma_k$ :

$$\text{klassisches Feld: } \phi_{(x)} = \langle \chi_{(q)} \rangle = \frac{\delta W_k[J]}{\delta J_{(x)}} \quad (4.31)$$

$$\Rightarrow \phi = \phi_k[J] \quad \Rightarrow \quad J = J_k[\phi]$$

modifizierte Legendre-Trafo:

$$\Gamma_k[\phi] = -W_k[J] + \int d^d x J(x) \phi(x) - \Delta S_k[\phi] \quad (4.32)$$

$$\Rightarrow J(x) = \frac{\delta \Gamma_k[\phi]}{\delta \phi(x)} + (R_k \phi)_{(x)} \quad (4.33)$$

Flußgleichung: ( $t = \ln k_1$ ),  $\partial_t = k \partial_k$

$$\underbrace{\partial_t W_k}_J = e^{-W_k} \partial_t e^{W_k} = -e^{-W_k} \int_1^k \partial_x \partial_t \Delta S_k[x] e^{-S - \Delta S_k + \int_S x}$$

$$= \frac{1}{2} \underbrace{\int \frac{d^d q}{(2\pi)^d} \partial_t R_k(q)}_{\langle \chi(-q) \chi(q) \rangle} \underbrace{\langle \chi(-q) \chi(q) \rangle}_{\int_1^k}$$

$$= \langle \chi(-q) \chi(q) \rangle_{\text{com}} + \langle \chi(-q) \rangle \langle \chi(q) \rangle$$

$$= \frac{\delta W}{\delta J(-q) \delta J(q)} + \frac{\delta W}{\delta J(-q)} \frac{\delta W}{\delta J(q)}$$

$$= G(q) + \phi(-q) \phi(q)$$

$$= \underbrace{-\frac{1}{2} \int \frac{d^d q}{(2\pi)^d} \partial_t R_k(q) G(q)}_{\delta J(-q)} + \partial_t \Delta S_k[\phi] \quad (4.34)$$

$$(4.33) : \frac{\delta J}{\delta \phi} = \frac{\delta^2 \Gamma_k}{\delta \phi \delta \phi} + R_k \equiv \Gamma_k^{(2)} + R_k$$

||

$$\left( \frac{\delta \phi}{\delta J} \right)^{-1} = \left( \frac{\delta^2 W}{\delta J \delta J} \right)^{-1} \equiv G^{-1}$$

(4.35)

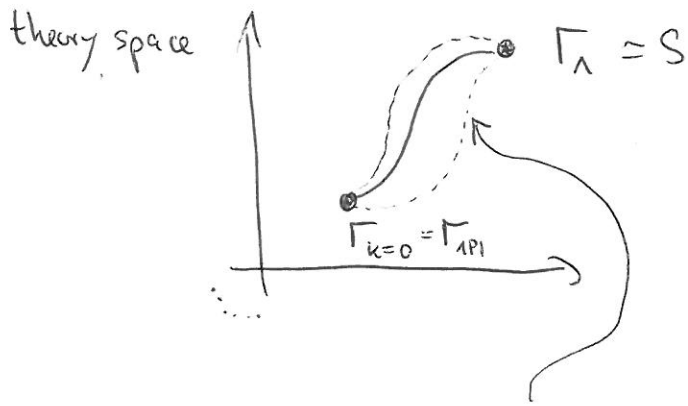
Fluß von  $\Gamma_k$ :

$$\begin{aligned} \underline{\partial_t \Gamma_k} &= -\partial_t W_k[J] + \int (\partial_t J) \phi - \partial_t \Delta S_k[\phi] \\ &= -\partial_t W_k[J] \Big|_J - \underbrace{\int \frac{\delta W}{\delta J} \partial_t J}_{\phi} + \cancel{\int (\partial_t J) \phi} + \partial_t \Delta S_k[\phi] \\ &\stackrel{(4.34)}{=} \frac{1}{2} \int \frac{dq}{(2\pi)^d} \partial_t R_k(q) G(q) - \cancel{\partial_t \Delta S_k[\phi]} + \cancel{\partial_t \Delta S_k[\phi]} \\ &= \frac{1}{2} \text{Tr} \left[ \partial_t R_k (\Gamma_k^{(2)} + R_k)^{-1} \right] \end{aligned} \quad (4.36)$$

(Wetterich '93

vgl: Wegner & Haughton '73;  
Polchinski '84)

- Funktionale DGL für  $\Gamma_k$
- (4.36) + Randbedingung (z.B.  $\Gamma_k \approx S$ ) (+ Symmetrie-constraints)  
"definiert" QFT
- Lösung von (4.36)  $\hat{=} \text{RG Trajektorie}$



- Variation vom  $R_n \Rightarrow$  Schemenabhängigkeit der RG Trajektorie
- Flußgleichung hat 1-loop Struktur, ist aber exakt:

$$\partial_t \Gamma_n = \frac{1}{2} \partial_t R_n \quad \text{exakter Propagator bei } k: \\ G = (\Gamma_n^{(2)} + R_n)^{-1}$$

- Störungstheorie: z.B. 1-loop:

$$\text{ersetze } \Gamma_n^{(2)} \rightarrow S^{(2)}$$

$$\Rightarrow \partial_t \Gamma_n^{1\text{-loop}} = \frac{1}{2} \text{Tr} \left[ \partial_t R_n (S^{(2)} + R_n)^{-1} \right]$$

$$= \frac{1}{2} \cdot \partial_t \text{Tr} \ln (S^{(2)} + R_n)$$

$$\Rightarrow \Gamma_{k=0}^{1\text{-loop}} = \Gamma_{k=\Lambda} + \frac{1}{2} \text{Tr} \ln S^{(2)} + \text{const} \\ \Gamma_{1PI}^{1\text{-loop}} \quad " \quad S_\Lambda \quad - \quad \text{Trunkierung} \quad (4.37)$$

- Approximativer Fluß: Methode der Trunkierungen

## 4.4 "Permutations nicht-renormierbare, nicht-permutations renormierbare Systeme"

### 4.4.1. Gross - Neveu Modell in $d=3$

Wirkung:

$$S[\bar{\Psi}, \Psi] = \int d^3x \left\{ \bar{\Psi}_a i\partial^\mu \Psi_a + \frac{G}{2} (\bar{\Psi}_a \Psi_a)^2 \right\}, a=1\dots N \quad (4.38)$$

Störungstheorie:  $[G]=-1$ ,  $S(V) = 1 (>0 \text{ nicht-renormierbar})$

Symmetrie:

$$\begin{aligned} U(N) &\left\{ \begin{array}{l} \text{- globale } U(1) : U = e^{i\theta} \rightsquigarrow \text{Fermionzahl erhalten} \\ \text{- diskrete } \mathbb{Z}_2 : \Psi(x) \rightarrow -\Psi(-x), \bar{\Psi}(x) \rightarrow \bar{\Psi}(-x) \\ \qquad \qquad \qquad \text{Paritätsartig} \rightsquigarrow \text{verbietet Massenterm} \sim \bar{\Psi}\Psi \end{array} \right. \\ &\text{- globale SU}(N) : \Psi_a \rightarrow O_{ab} \Psi_b, \quad O^T = O^{-1} \end{aligned}$$

Divergenzen:

e.g.  $\Gamma^{(4)} \sim \text{Diagramm mit vier Gitterknoten und einem Zickzack-Linien-Vertauschungsterm}$   $\sim \int \frac{d^3 q}{(2\pi)^3} \frac{1}{q^2} \sim \Lambda$

## Flußgleichung:

Traktionsg.

$$\Gamma_k = \int d^3x \left\{ \bar{\psi}_a \partial^\mu \psi_a + \frac{G_k}{2} (\bar{\psi}_a \psi_a)^2 \right\} \quad (4.39)$$

Nambu - Gor'kov Formalismus: (<sup>T</sup>: Dirac-Raum Transposition)

$$\underline{\Phi}(q) = \begin{pmatrix} \Psi^{(q)} \\ \bar{\Psi}^T(-q) \end{pmatrix}, \underline{\Phi}^T(-q) = (\Psi^T(-q), \bar{\Psi}(q)) \quad (4.40)$$

inverse Propagator:

$$\begin{aligned} (\Gamma_k^{(2)}(q))_{ab} &= \frac{\delta \underline{\Phi}_a^T(-q)}{\delta \underline{\Phi}_b^T(q)} \quad \Gamma_k \frac{\delta}{\delta \underline{\Phi}_b^T(q)} \\ &= \frac{q^T}{4} \cdot \begin{pmatrix} \Psi & \bar{\Psi}^T \\ 0 & -q^T \\ -q & 0 \end{pmatrix} \delta_{ab} + G \begin{pmatrix} -\bar{\Psi}_a^T \bar{\Psi}_b & -(\bar{\Psi}\Psi) + \bar{\Psi}_a^T \Psi_b^T \\ (\bar{\Psi}\Psi) + \bar{\Psi}_a \bar{\Psi}_b & -\Psi_a \Psi_b^T \end{pmatrix} \end{aligned} \quad (4.41)$$

einsetzen im RHS der Flußgleichung und entwickeln  
bis Ordnung  $(\bar{\Psi}_a \Psi_a)^2$

$$\Rightarrow \partial_t G_k = -k C G_k^2 \quad \text{mit } C = \text{const} > 0 \text{ für } N > 2$$

(z.B.:  $C = \frac{N-2}{4\pi^2}$  für linearer Regulator)

(4.42)

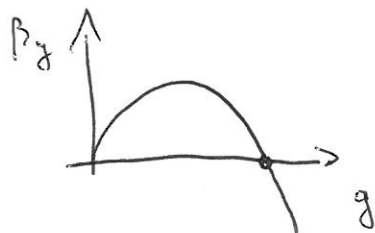
Dimensionslose Vopplung:

$$g = k \cdot G_u \Rightarrow \partial_t g = g + k \partial_t G_u$$

$\Rightarrow \beta$  Funktion:

$$\partial_t g = \beta_g = g - c g^2 \quad (4.43)$$

$N > 2$ :



Nicht-Gaußscher FP:  $g_* = \frac{1}{c} \quad \left( = \frac{4\pi^2}{N-2} \text{ für lin. Reg.} \right)$

$g_*$  ist UV-stabil,  $\Theta = 1$  (Regulator unabh.!)  
 $(= -\frac{\partial \beta(g_*)}{\partial g})$  (4.44)

$\Rightarrow$  Gross-Neveu Modell für  $N > 2$  ist "asymptotically safe",

d.h. nicht-perturbativ renormierbar

(beweisbar in  $\frac{1}{N}$ -Entwicklungen zu allen Ordnungen in  $\frac{1}{N}$ )

(Gawedzki, Kupiainen '85)

IR-Physik: (Quantenphasenübergang bei  $g = g_*$ )

-  $g < g_*$ :  $g_{k \rightarrow 0} \rightarrow 0$  freie Theorie

-  $g > g_*$ :  $g_{k \rightarrow 0} \rightarrow \infty$  (Trunkierung unzureichend)

partielle Bosonisierung,  $\phi \sim \bar{\psi}\psi$ , zeigt: Spontane Symmetriebrechung  
 Fermion-Massenerzeugung

# Analyse im Fixpunkt-Regime

$$\partial_t g = \beta (g_* - g) + \mathcal{O}(g_* - g)^2$$

$$\begin{aligned} \text{Gaußscher FP: } g_* &= 0, \quad \beta = -1 \quad \Rightarrow \frac{\partial \beta(g_*)}{\partial g} = 0 \\ \text{nicht-G. FP: } g_* &= \frac{1}{c}, \quad \beta = +1 \quad \Rightarrow \end{aligned}$$

Lösung des Vierphys. flusses im FP Regime

$$g = g_* + C_0 \left( \frac{k_0}{k} \right)^\Theta$$

mit Anfangsbedingung  $g - g_* = C_0$  bei  $k = k_0$

IR Fluss:

$$\text{GFP: } g = C_0 \left( \frac{k}{k_0} \right) \rightarrow 0 \quad \text{für } k \rightarrow 0$$

GFP ist IR attraktiv, Theorie wird trivial für  $k \rightarrow 0$   
 $g(\bar{q}_4)^2$  ist irrelevant

$$\text{nGFP: } g = \frac{1}{c} + C_0 \frac{k_0}{k} \quad \text{verlässt FP Regime}$$

nGFP ist IR repulsiv,  $g(\bar{q}_4)^2$  ist relevant

UV Fluss:

$$\text{GFP: } g = C_0 \left( \frac{k}{k_0} \right) \quad \text{verlässt FP Regime}$$

UV repulsiv (Störungstheorie bricht zusammen)

$$\text{nGFP: } g = \frac{1}{c} + C_0 \frac{k_0}{k} \rightarrow \frac{1}{c} = g_* \quad \text{für } k \rightarrow \infty$$

UV attraktiv, Theorie wird skalen invariant

# Dimensionsbehaftete Kopplung aus n GFP

$$G \rightarrow g^*/k$$

Divergenz?:

$$\begin{aligned} \text{e.g. } \partial_t \Gamma^{(n)} &\sim G_u \otimes G_k \sim G_u^2 \int \frac{d^3 q}{k^{(2a)^2}} \frac{1}{q^2} \\ \partial_t G_k &\sim G_u^2 \cdot k \sim g^* \cdot \frac{1}{k} \rightarrow 0 \end{aligned}$$

für  $k \rightarrow \infty$

Divergenz wird durch RG-Laufen der Kopplung kompensiert. Theorie ist UV endlich (!)

b.zw. asymptotisch sicher und damit nicht perturbativ renormierbar.

Resummation in der Flussgleichg.: z.B.  $\Gamma^{(n)}$

$k:$  

$k - \Delta k:$  

$k - 2\Delta k:$  

## 4.4.2 Verallgemeinerungen

d-dimensionales Modell a la Gross-Nelson  
im Traktionsg mit lokaler Wechselwirkung:

$$\Rightarrow \partial_t g = (d-2)g - C_d g^2 \quad (4.45)$$

$$\Rightarrow \text{nicht-Gau\ss scher FP: } g_* = \frac{(d-2)}{C_d} \quad (4.46)$$

RG Eigenwert:  $\Theta = (d-2)$

ABER: Impulsab h n g e k i t e n von  $G_n$  werden wichtiger mit zunehmendem d.

Large-N Argumente zeigen: FP verschwindet f r d > 4.

$\psi^4$  in d=4: FP kann marginal stabil oder instabil sein; h ngt von Details der WW ab.

$\Rightarrow$  Spekulation: renormierbares Standard Modell ohne fundamentalen Higgs-Skalor ( $\Theta \sim \bar{\psi}\psi$ , top-quark condensation)